

AM1 研究甲酰和苯甲酰叠氮的热分解反应*

徐文媛 刘够生 彭以元 洪三国

(江西师范大学化学系, 南昌 330027)

关键词: 酰基叠氮, 热分解, 过渡态, AM1 方法

叠氮化合物是良好的炸药和火箭推进剂, 广泛用于国防和工农业^[1]. 近一个世纪以来, 许多化学工作者对叠氮化合物的研究表现出浓厚的兴趣^[1-4]. Curtius 等人对酰基叠氮的热分解反应进行了大量的实验研究^[2,3]. 为了从理论上探明这类反应的机理, 我们用 AM1 方法研究甲酰和苯甲酰叠氮的热分解反应, 给出了生成不同产物的竞争反应路径, 对分步完成的反应路径, 确定了其速度控制步骤.

1 计算方法

研究过程中, 对反应物、中间体和产物的几何构型用能量梯度法全优化计算; 过渡态 TS(Transition State) 的几何构型则用本征矢跟踪 EF(Eigenvector Following) 法全优化计算, 并经振动分析计算验证. 全部计算工作是用 MOPAC6.0 程序中标准 AM1 方法^[4] 在江西师范大学计算中心的 TJ-2230 型计算机上完成.

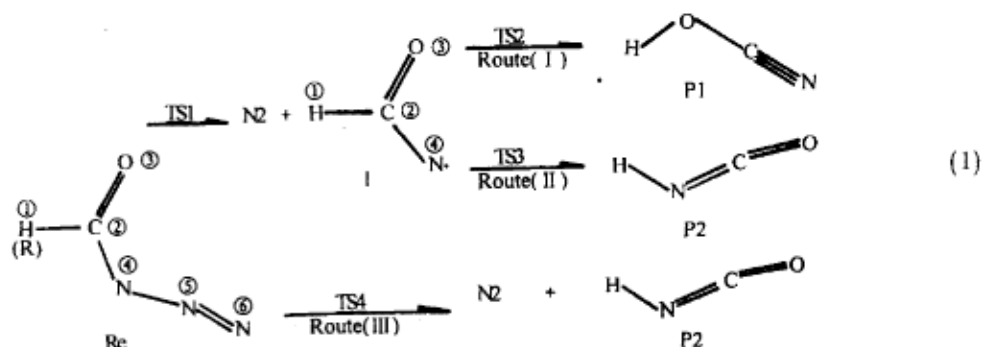
2 结果与讨论

2.1 HC(O)N₃ 的热分解反应

根据早期和最近的实验研究报导^[2,4], 我们按照模式 (1) 所示的三条反应路径进行计算探索. 所得反应物 (Re)、中间体 (I)、产物 (P1 和 P2) 的几何构型参数列在表 1 中. 由表 1 数据可知, 在反应物 (Re) 中, 所有原子共平面, 这可能是形成 π_0^0 使体系稳定所需. 考虑振动零点能校正, 计算所得反应能差 $\Delta E_1(E_{P1} + E_{N2} - E_{Re})$ 和 $\Delta E_2(E_{P2} + E_{N2} - E_{Re})$ 分别为 -158.264 和 $-209.631 \text{ kJ} \cdot \text{mol}^{-1}$.

为了给出过渡态 TS1 的初始构型, 选 $r(5-4)$ 为主反应坐标, 用极小能量途径法计算探索. 发现 $r(5-4)=0.194 \text{ nm}$ 对应体系的梯度模平方为极小值, 且相应能量为极大. 认定此构型为 TS1 的初始猜测, 用本征矢跟踪 (EF) 法全优化计算, 收敛的构型参数列在表 1 中.

分别选 $\angle(3-2-1)$ 和 $\angle(4-2-1)$ 为主反应坐标, 用同样的方法优化得到了 TS2 和 TS3 的几何构型参数 (见表 1). 至于反应路径 (III), 选择角 $\angle(4-2-1)$ 为主反应坐标, 得到了过渡态 TS4 的几何构型参数也列在表 1 中. 振动分析计算表明, TS1、TS2、TS3 和 TS4 的力常数矩阵的本征



值中且仅有一个负值，并且与它们相应的虚振动模式矢量(图1)展示了从这四个过渡态走向它们各自的反应物和产物的趋势。这表明，全优化所得 TS1、TS2、TS3 和 TS4 是可信的。

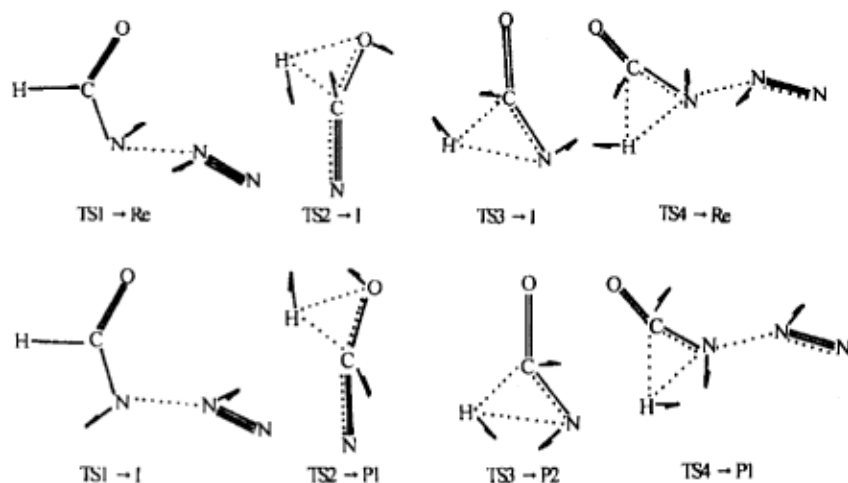


图 1 虚振动模式示意图

Fig.1 Modes of the imaginary vibrations

表 1 优化所得甲酰叠氮反应的 Re, I, P1, P2, TS1, TS2, TS3 和 TS4 的构型参数

Table 1 Geometric parameters of Re, I, P1, P2, TS1, TS2, TS3 and TS4 for formacyl azide

Parameters	Re	I	P1	P2	TS1	TS2	TS3	TS4
Bond lengths (nm)								
$r(2-1)$	0.1115	0.1128	0.0977	0.0985	0.1130	0.1291	0.1200	0.1315
$r(3-2)$	0.1238	0.1242	0.1335	0.1232	0.1245	0.1316	0.1232	0.1212
$r(4-2)$	0.1403	0.1369	0.1164	0.1202	0.1357	0.1218	0.1296	0.1292
$r(5-4)$	0.1268	—	—	—	0.1968	—	—	0.1484
$r(6-5)$	0.1128	—	—	—	0.1104	—	—	0.1115
Bond angles ($^{\circ}$)								
$\angle(3-2-1)$	124.61	120.76	106.00	127.22	120.81	71.08	124.17	138.41
$\angle(4-2-1)$	108.24	111.44	175.46	166.77	109.52	131.71	87.57	61.33
$\angle(5-4-2)$	124.27	—	—	—	112.71	—	—	135.72
$\angle(6-5-4)$	169.84	—	—	—	169.79	—	—	157.05
Dihedral angles ($^{\circ}$)								
$\angle(4-2-1-3)$	180.00	179.92	-179.81	179.73	179.68	-179.88	178.00	179.73
$\angle(5-4-2-1)$	180.00	—	—	—	-178.37	—	—	-179.84
$\angle(6-5-4-2)$	180.00	—	—	—	171.02	—	—	-179.74

考虑振动零点能校正, 各步反应的活化能 ($E_a(\text{I}) (=E_{\text{TS1}} - E_{\text{Re}})$, $E'_a(\text{I}) (=E_{\text{TS2}} - E_{\text{I}})$, $E_a(\text{II}) (=E_{\text{TS3}} - E_{\text{I}})$ 和 $E_a(\text{III}) (=E_{\text{TS4}} - E_{\text{Re}})$) 如表 2 所列, 反应的极小能量途径图示于图 2. 各路径及其分步骤反应的活化能 (考虑振动零点能校正) 标明在图 2 上. 由图 2 可知反应路径 (I) 和路径 (II) 是分两步进行的, 而反应路径 (III) 是一步完成的. 比较活化能的大小可知, 反应路径 (III) 比反应路径 (I) 和 (II) 要易于进行. 反应路径 (I) 和 (II) 的速度控制步骤均为起始步 ($\text{Re} \rightarrow \text{I} + \text{N}_2$).

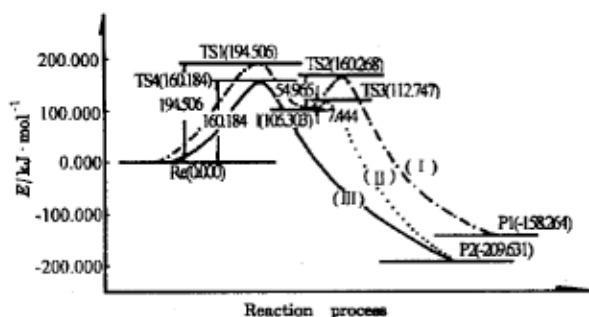


图 2 反应的极小能量途径

Fig.2 Minimum energy pathways of thermolyses

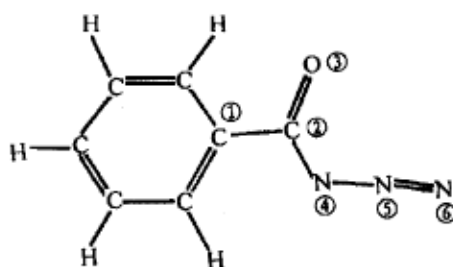


图 3 苯甲酰叠氮的原子编号

Fig.3 The atomic numbering of benzoyl azide

表 2 热分解反应三条路径的活化能 E_a (单位: $\text{kJ}\cdot\text{mol}^{-1}$)

Table 2 Activation energies of thermolyses along three routes ($\text{kJ}\cdot\text{mol}^{-1}$)

R	$E_a(\text{I})$	$E'_a(\text{I})$	$E'_a(\text{II})$	$E_a(\text{III})$
H	194.506	34.965	7.444	160.184
C_6H_5	175.695	88.125	65.623	203.962

表 3 优化所得苯甲酰叠氮反应的 Re, I, P1, P2, TS1, TS2, TS3 和 TS4 的构型参数

Table 3 Geometric parameters of Re, I, P1, P2, TS1, TS2, TS3 and TS4 for benzoyl azide

Parameters	Re	I	P1	P2	TS1	TS2	TS3	TS4
Bond lengths (nm)								
$r(2-1)$	0.1456	0.1485	0.2301	0.2403	0.1552	0.1501	0.1551	0.1494
$r(3-2)$	0.1246	0.1269	0.1343	0.1200	0.1213	0.1352	0.1232	0.1251
$r(4-2)$	0.1424	0.1372	0.1163	0.1243	0.1386	0.1254	0.1311	0.1387
$r(5-4)$	0.1265	—	—	—	0.1355	—	—	0.1938
$r(6-5)$	0.1129	—	—	—	0.1131	—	—	0.1105
Bond angles ($^\circ$)								
$\angle(3-2-1)$	122.10	119.89	34.30	168.34	144.75	74.77	126.72	120.22
$\angle(4-2-1)$	114.98	120.32	150.33	25.99	66.06	142.79	87.40	116.65
$\angle(5-4-2)$	122.62	—	—	—	144.84	—	—	113.48
$\angle(6-5-4)$	169.51	—	—	—	149.56	—	—	155.99
Dihedral angles ($^\circ$)								
$\angle(4-2-3-1)$	178.00	179.61	-178.10	179.85	-177.56	-179.99	179.79	-178.99
$\angle(5-4-2-1)$	179.98	—	—	—	176.50	—	—	179.27
$\angle(6-5-4-2)$	-179.99	—	—	—	-175.40	—	—	179.56

2.2 PhC(O)N_3 的热分解反应

由于近年来, 实验工作者对 ArC(O)N_3 的热分解反应研究得较多^[4,6-8]. 我们用苯基取代 HC(O)N_3 中的氢原子 (见图 3) 进行了平行研究. 能量梯度法优化所得反应物、中间体、各过渡

态和产物的几何构型参数列于表 3 中. 考虑振动零点能校正后的反应能差 ΔE_1 和 ΔE_2 分别为 -108.774 和 $-201.334\text{kJ}\cdot\text{mol}^{-1}$. 活化能 $E_a(\text{I})$, $E'_a(\text{I})$, $E_a(\text{II})$ 和 $E_a(\text{III})$ 值也列于表 2 中. 比较 $\text{HC}(\text{O})\text{N}_3$ 和 $\text{PhC}(\text{O})\text{N}_3$ 反应的能差发现, 后者放出的能量比前者少, 这可能是苯基有利于 $-\text{C}(\text{O})\text{N}_3$ 的稳定所致. 分析表 2 中的数值可知, 涉及苯基迁移的反应路径 (或步骤) 的活化能比涉及氢迁移的活化能平均高 $45.039\text{kJ}\cdot\text{mol}^{-1}$, 表明苯基迁移难于氢原子; 另一方面, 苯基的引入使原先最容易进行的反应路径 (III) 变成了最难进行的反应路径.

3 结论

用 AM1 方法研究甲酰基和苯甲酰基叠氮的热分解反应机理得出结论如下:

- (1) 两种目标物的热分解反应均是放热的, 苯基的引入使放出的热量减少;
- (2) 叠氮化物的热分解反应有三条竞争的反应路径, 对于甲酰基叠氮的热分解, 路径 (III) 是最易进行的, 对于苯甲酰基叠氮的热分解, 路径 (III) 则最难进行;
- (3) 对比两种目标物, 苯基的迁移难于氢原子, 其迁移的路径 (或步骤) 的活化能比氢迁移的平均高 $45.039\text{kJ}\cdot\text{mol}^{-1}$.

致谢: 北京师范大学刘若庄、傅孝愿教授对本文的完成提供了有益的建议, 谨表示衷心的感谢!

参 考 文 献

- 1 Xiao Heming (肖鹤鸣), Li Yongfu (李永富). Energy Band and Electronic Structures of Metal Azides(《金属叠氮能带和电子结构》) Beijing(北京): Science Press (科学出版社), 1996
- 2 Curtius T. *J. Pract. Chem.*, 1917, 95:340
- 3 Waldrom N M, Montevalli M, Azam S, Dasopoulos C. *J. Chem. Soc. Chem. Common*, 1995, (1):81
- 4 Waldrom N M, Raza M. *J. Chem. Soc. Perkin Trans.1*, 1996, 3:271
- 5 Dewar M J S, Zoebisch E G, Healy E F, et al. *J. Am. Chem. Soc.*, 1985, 107:3902
- 6 Ruiz J R, Aran V J, Stud M. *Tetrahedrom Lett.*, 1988, 29:697
- 7 Aran V J, Asensio J L, Ruiz J R, Stud M. *J. Chem. Soc. Perkin Trans 1*, 1993, (10):1119
- 8 Aran V J, Flores M, Munoz P, Ruiz J R, Sanchez-Verdu P, Stud M. *Liebigs Ann. Chem.*, 1994, 202:1

AM1 Method Study of Thermolyses of Formacyl and Benzoyl Azides

Xu Wenyan Liu Gousheng Peng Yiyuan Hong Sanguo

(Department of Chemistry, Jiangxi Normal University, Nanchang 330027)

Abstract AM1 SCF calculations have been carried out to study thermolyses of formacyl and benzoyl azides. The results show that these thermolyses have several reaction routes yielding different products.

Keywords: Acylazides, Thermal decompositions, Transition state, AM1 method

Received 1997-08-07, revised 1998-03-11. Correspondent: Hong Sanguo. * The Project Supported by Science Foundation of Jiangxi Province